

01;03

Изменение топологии и симметрии поля завихренности при турбулентном распаде вихря

© Т.О. Мурахтина, В.Л. Окулов

Институт теплофизики СО РАН, Новосибирск

Поступило в Редакцию 8 декабря 1999 г.

Предложена модель для описания турбулентного распада вихря как перехода от правовинтового колоннообразного вихря с плотным ядром к левовинтовому вихрю с полым ядром. Результаты работы развивают новый подход к рассмотрению явления распада вихря как к спонтанному изменению топологии и симметрии поля завихренности.

Явление распада вихря интенсивно изучалось для закрученных потоков в трубах. Хорошо известны пузыревидный, спиральный и двухспиральный типы распада, обнаруженные в течениях с умеренными числами Рейнольдса до 35 000 [1]. В [2,3] при числах Рейнольдса от 100 000 до 300 000 экспериментально обнаружена новая форма турбулентного распада вихря. В этом случае течение за распадом состоит из нескольких спиралей, вращающихся с очень большой скоростью. При числах Рейнольдса более 200 000 спирали сжимаются и картина распада все более напоминает осесимметричный контур с полым ядром. Анализ как диаграммы распределения азимутальной компоненты завихренности, так и измеренных в разных сечениях рабочего участка трубы профилей скорости из [3] позволяет сделать вывод о том, что до распада существовал круговой колоннообразный вихрь с плотным ядром, трансформировавшийся затем в кольцевой с полым ядром, т.е. в этом случае произошло изменение не только в топологии течения, характерное для всех ранее известных типов распада, но и в топологии поля завихренности. В данной работе изучим вопрос о возможности описания этой новой формы распада как перехода от плотного вихря с правой винтовой симметрией к полному вихрю с левой винтовой симметрией (рис. 1, *b*) по аналогии с предложенным в [4,5] описанием

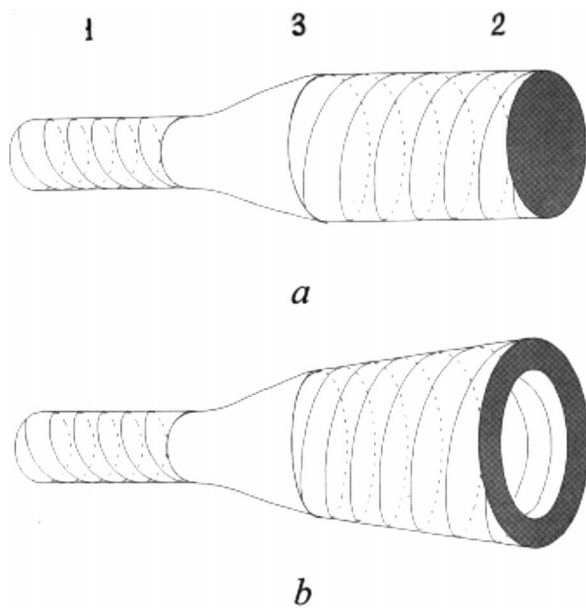


Рис. 1. Схемы изменения винтовой симметрии и топологии поля завихренности для разных типов распада: *a* — обычного и *b* — конического; 1 — правый винтовой вихрь, 2 — левый винтовой вихрь, 3 — зона распада.

других типов распада без изменений в топологии поля завихренности (рис. 1, *a*).

Для более точного описания средних характеристик течения за турбулентным распадом обобщим модель полого винтового вихря с постоянным распределением осевой компоненты завихренности в кольцевой области $r_0 - \varepsilon < r < r_0 + \varepsilon$, рассмотренной в [6], на случай ее гладкого распределения:

$$\omega_z = 2\Gamma \left[\frac{\varepsilon}{(\varepsilon^2 + (r - r_0)^2)} \right]^2,$$

$$f(r, \varepsilon, r_0) = \frac{r(r - r_0)}{(r - r_0)^2 + \varepsilon^2} + \frac{r_0}{\varepsilon} \operatorname{arctg} \left(\frac{r - r_0}{\varepsilon} \right) + \frac{r_0}{\varepsilon} \operatorname{arctg} \left(\frac{r_0}{\varepsilon} \right). \quad (1)$$

Интегрируя (1), восстанавливаем тангенциальный и осевой профили скорости:

$$w_\varphi = \frac{\Gamma}{r} \left[\frac{r(r-r_0)}{(r-r_0)^2 + \varepsilon^2} + \frac{r_0}{\varepsilon} \operatorname{arctg} \left(\frac{r-r_0}{\varepsilon} \right) + \frac{r_0}{\varepsilon} \operatorname{arctg} \left(\frac{r_0}{\varepsilon} \right) \right],$$

$$w_z = w_0 - \frac{r}{l} w_\varphi. \quad (2)$$

На рис. 2 представлена аппроксимация измеренных в [3] профилей скорости моделью (2) с указанными в таблице значениями параметров: Γ — характеризующего циркуляцию вихря; r_0 — радиуса кольцевой области с концентрированной завихренностью; 2ε — ее размера; $2\pi l$ — шага вихревых линий; w_0 и p_0 — скорости и давления на оси; r — радиального расстояния от оси. Как видно из рисунка, в сечениях, максимально удаленных от зоны распада, модель хорошо согласуется с осредненными экспериментальными значениями скоростей, несмотря на то что модель (2) является точным решением уравнений Эйлера. Как и ожидалось, в области до распада течение хорошо описывается моделью вихря с концентрированным ядром $r_0 = 0$.

Теперь, следуя [4,5], будем рассматривать возможность возникновения распада вихря как возможность существования различных вихревых структур при одинаковых значениях интегральных характеристик потока:

расхода

$$Q = 2\pi\rho \int_0^R w_z r dr,$$

циркуляции скорости

$$G = R w_\varphi(R),$$

осевого потока момента количества движения

$$L = 2\pi\rho \int_0^R w_\varphi w_z r^2 dr,$$

осевого потока количества движения

$$J = 2\pi\rho \int_0^R \left(w_z^2 + \left(\int_0^r \frac{w_\varphi^2}{\sigma} d\sigma + \frac{p_0}{\rho} \right) \right) r dr, \quad (3)$$

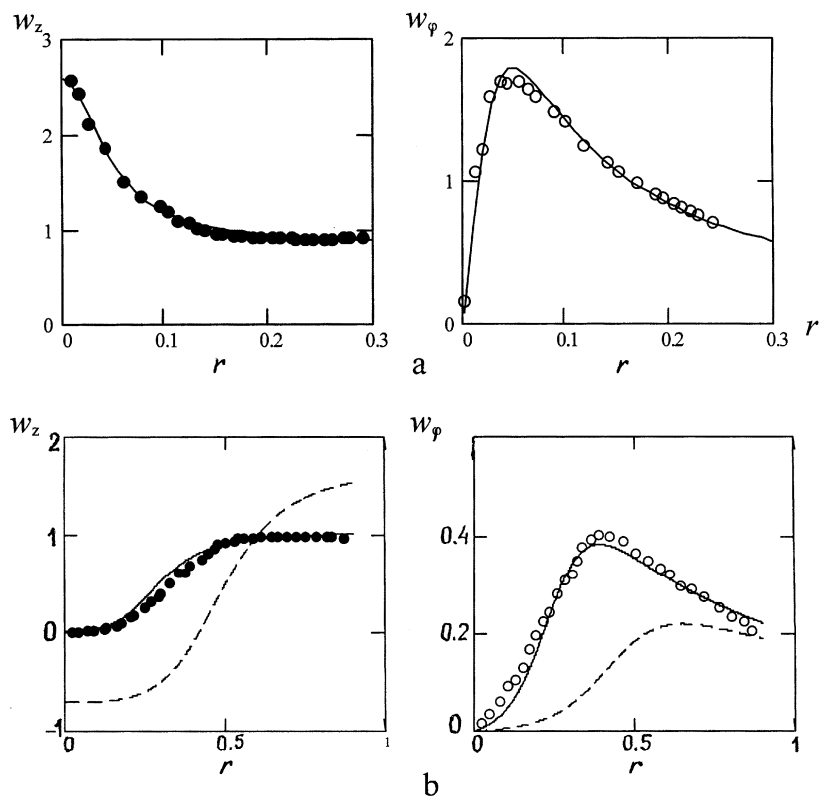


Рис. 2. Профили осевой и азимутальной компонент скорости до (a) и после (b) распада при $Re = 230\,000$. Экспериментальные данные [2] изображены точками; аппроксимация — сплошной линией; расчет — штриховой.

осевого потока энергии

$$E = 2\pi\rho \int_0^R \left(\frac{w_z^2 + w_{\varphi}^2}{2} + \left(\int_0^r \frac{w_{\varphi}^2}{\sigma} d\sigma + \frac{p_0}{\rho} \right) \right) w_z r dr.$$

Из-за недостатка экспериментальных данных для точной оценки потерь на вязкие эффекты и турбулентные пульсации в законах сохранения (3)

Параметры вихревых структур		Γ	w_0	l	ε	r_0	p_0
До распада	аппроксимация и расчет	0.18	2.6	0.10*	0.5	0	0
После распада	аппроксимация и расчет	0.05	0.02	-0.20*	0.19	0.24	—
		0.03	-0.69	-0.08*	0.24	0.44	5.46

* положительные и отрицательные значения l обозначают правый и левый винтовой вихри соответственно.

далее ограничимся рассмотрением задачи в рамках идеальной жидкости. Однако в отличие от [4,5], поскольку число описывающих вихрь параметров увеличилось, для использования даже этой упрощенной модели необходимо добавить к уже имеющимся законам сохранения Q , G , L , J , E еще один. При его получении был учтен тот факт, что константа Бернулли в случае стационарного движения невязкой жидкости остается постоянной не только вдоль линий тока, что обеспечивает сохранение осевой компоненты потока энергии E , но и вдоль вихревых линий также. В результате в качестве дополнительной характеристики может быть рассмотрен осевой поток энергии вдоль вихревых линий:

$$B = 2\pi\rho \int_0^R \left(\frac{w_\varphi^2 + w_z^2}{2} + \left(\int_0^r \frac{w_\varphi^2}{\sigma} d\sigma + \frac{p_0}{\rho} \right) \right) \cdot \omega_z r dr. \quad (4)$$

Таким образом, теперь, имея необходимое количество законов сохранения, можно снова поставить задачу о нахождении параметров вихревых структур, существующих при одних и тех же значениях Q , G , L , J , E , B . Подставляя (1)–(2) в (3)–(4), получаем систему уравнений относительно характеристик вихря Γ , l , ε , r_0 , w_0 , p_0 . Явно выражая w_0 , l , Γ , p_0 как функции двух переменных ε и r_0 :

$$w_0(\varepsilon, r_0) = \frac{Q\Gamma(\varepsilon, r_0)k_2(\varepsilon, r_0) - Lk_1(\varepsilon, r_0)}{\pi\Gamma(\varepsilon, r_0)(k_2(\varepsilon, r_0) - k_1(\varepsilon, r_0)^2)},$$

$$l(\varepsilon, r_0) = \pi\Gamma(\varepsilon, r_0)^2 \frac{k_2(\varepsilon, r_0) - k_1(\varepsilon, r_0)^2}{L - Q\Gamma(\varepsilon, r_0)k_1(\varepsilon)}, \quad \Gamma(\varepsilon, r_0) = \frac{G}{k_0(\varepsilon)},$$

$$p_0(\varepsilon, r_0) = \frac{J}{\pi} - \frac{1}{\pi} \left[w_0(\varepsilon, r_0)Q + \frac{L}{l(\varepsilon, r_0)} + 2\pi\Gamma(\varepsilon, r_0)^2 K_1(\varepsilon, r_0) \right],$$

исходную систему сведем к двум нелинейным уравнениям на параметры ε и r_0 :

$$\begin{cases} w_0(\varepsilon, r_0) \left[J - \frac{w_0(\varepsilon, r_0)}{2} Q + \frac{\pi}{2} \frac{\Gamma(\varepsilon, r_0)^2}{l(\varepsilon, r_0)^2} k_2(\varepsilon, r_0) + \pi \Gamma(\varepsilon, r_0)^2 k_4(\varepsilon, r_0) \right] \\ + \pi \frac{\Gamma(\varepsilon, r_0)}{l(\varepsilon, r_0)} \left[p_0(\varepsilon, r_0) k_1(\varepsilon, r_0) + \Gamma(\varepsilon, r_0)^2 k_5(\varepsilon, r_0) + \frac{\Gamma(\varepsilon, r_0)^2}{2l(\varepsilon, r_0)^2} k_3(\varepsilon, r_0) \right. \\ \left. + 2\Gamma(\varepsilon, r_0)^2 K_2(\varepsilon, r_0) \right] = E, \\ 2\pi \Gamma(\varepsilon, r_0) \varepsilon^2 \left[(w_0^2(\varepsilon, r_0) + 2p_0(\varepsilon, r_0)) k_6(\varepsilon, r_0) \right. \\ \left. + 2w_0(\varepsilon, r_0) \frac{\Gamma(\varepsilon, r_0)}{l(\varepsilon, r_0)} k_7(\varepsilon, r_0) + \frac{\Gamma(\varepsilon, r_0)^2}{l(\varepsilon, r_0)^2} k_8(\varepsilon, r_0) \right] \\ \left. + 2\pi \Gamma(\varepsilon, r_0) \varepsilon^2 \left[\Gamma(\varepsilon, r_0)^2 (k_9(\varepsilon, r_0) + 2K_3(\varepsilon, r_0)) \right] = B, \end{cases} \quad (5)$$

где

$$\begin{aligned} k_0(\varepsilon, r_0) &= f(1, \varepsilon, r_0); & k_1(\varepsilon, r_0) &= 2 \int_0^1 x f(x, \varepsilon, r_0) dx; \\ k_2(\varepsilon, r_0) &= 2 \int_0^1 x f(x, \varepsilon, r_0)^2 dx; & k_3(\varepsilon, r_0) &= 2 \int_0^1 x f(x, \varepsilon, r_0)^3 dx; \\ k_4(\varepsilon, r_0) &= \int_0^1 \frac{f(x, \varepsilon, r_0)^2}{x} dx; & k_5(\varepsilon, r_0) &= \int_0^1 \frac{f(x, \varepsilon, r_0)^3}{x} dx; \\ k_6(\varepsilon, r_0) &= \int_0^1 \frac{x}{[\varepsilon^2 + (x - r_0)^2]^2} dx; & k_7(\varepsilon, r_0) &= \int_0^1 \frac{x f(x, \varepsilon, r_0)}{[\varepsilon^2 + (x - r_0)^2]^2} dx; \\ k_8(\varepsilon, r_0) &= \int_0^1 \frac{x f(x, \varepsilon, r_0)^2}{[\varepsilon^2 + (x - r_0)^2]^2} dx; & k_9(\varepsilon, r_0) &= \int_0^1 \frac{f(x, \varepsilon, r_0)^2}{x [\varepsilon^2 + (x - r_0)^2]^2} dx; \\ K_1(\varepsilon, r_0) &= \int_0^1 x P(x, \varepsilon, r_0) dx; & K_2(\varepsilon, r_0) &= \int_0^1 x P(x, \varepsilon, r_0) f(x, \varepsilon, r_0) dx; \\ K_3(\varepsilon, r_0) &= \int_0^1 \frac{x P(x, \varepsilon, r_0)}{[\varepsilon^2 + (x - r_0)^2]^2} dx; & P(x, \varepsilon, r_0) &= \int_0^x \frac{f(s, \varepsilon, r_0)^2}{s^3} ds. \end{aligned}$$

Здесь функция $f(r, \varepsilon, r_0)$ имеет вид (1). Под параметрами $\Gamma, l, \varepsilon, r_0, w_0, p_0$ имеются в виду безразмерные комбинации $\Gamma/R \cdot U, l/R, \varepsilon/R, r_0/R, w_0/U, p_0/\rho \cdot U^2$, где R — радиус сечения на входе в рабочий участок трубы, U — среднерасходная скорость в том же сечении, ρ — плотность жидкости. В качестве безразмерных интегралов Q, G, L, J, E, B используются величины $Q/\rho \cdot U \cdot R^2, G/R \cdot U, L/\rho \cdot U^2 \cdot R^3, J/\rho \cdot U^2 \cdot R^2, E/\rho \cdot U^3 \cdot R^2, B/\rho \cdot U^3 \cdot R$.

Исследование системы (5) показало, что в допустимой области изменения параметров $\varepsilon (0 \leq \varepsilon \leq 1)$ и $r_0 (0 \leq r_0 \leq 1)$ существуют два корня. Значения параметров, вычисленных по первому корню, совпадают с параметрами вихря до распада; второй корень соответствует вихревой структуре после распада (см. таблицу). Сопоставление расчетных и экспериментальных профилей осевой и азимутальной компонент скорости приводится на рис. 2. Количественное согласование с экспериментальными данными вполне приемлемое, принимая во внимание тот факт, что модель не учитывала изменения интегральных характеристик течения за счет незначительного изменения геометрии рабочего участка трубы, потерь на трение и турбулентные пульсации.

Таким образом, впервые было установлено наличие винтовой симметрии поля завихренности для течений, в которых реализуется турбулентный распад вихря. Новый тип распада был промоделирован как переход от колоннообразного правовинтового вихря с плотным ядром к полному коническому левовинтовому вихрю при фиксированных интегральных характеристиках потока. Результаты моделирования, качественно согласуясь с экспериментом [2,3], подтверждают предложенную в [4] трактовку распада вихря как внезапную смену винтовой ориентации вихревых нитей, образующих ядро вихревой структуры, на зеркально-симметричную.

Список литературы

- [1] Faler J.H., Leibovich S. // Phys. Fluids. 1977. V. 20. N 9. P. 1385–1399.
- [2] Sarpkaya T. // Phys. Fluids. 1995. V. 7. P. 2301–2303.
- [3] Sarpkaya T., Novak F. // AIAA 99-0135. 1999. P. 1–19.
- [4] Окулов В.Л. // Письма в ЖТФ. 1996. Т. 22. В. 19. С. 47–54.
- [5] Okulov V.L., Alekseenko S.V., Legrand J., Legentilhomme P. // Russian J. of Engineering Thermophysics. 1997. V. 7. N 3–4. P. 149–164.
- [6] Alekseenko S.V., Kuibin P.A., Okulov V.L., Shtork S.I. // J. Fluid Mech. 1999. V. 382. P. 195–243.